Vol.43 No.12 Dec. 2023

1 1

考虑氢储一体化协同的综合能源系统低碳优化

潘 超1,刘继哲1,孙 勇2,李宝聚2,方家琨3,王 尧2

(1. 东北电力大学 现代电力系统仿真控制与绿色电能新技术教育部重点实验室,吉林 吉林 132012;

2. 国网吉林省电力有限公司,吉林 长春 130031;

3. 华中科技大学 强电磁工程与新技术国家重点实验室,湖北 武汉 430074)

摘要:针对可再生能源消纳问题,基于电-热-氢能流交互拓扑,研究电-热-氢综合能源系统灵活性资源协同调控。考虑灵活性资源与异质能流的互补影响,构建经济成本、风光消纳率、碳排放量等多评价指标评价电-热-氢多能调控策略。基于负荷碳排信息,提出电-热-氢交互能流溯源方法,利用碳流拓扑信息辅助多能调控决策。通过对实际区域电网进行仿真,分析多元灵活性资源响应对系统综合效益的改善效果,研究电-热-氢系统的源荷协同特性,结果验证了所提方法的有效性与合理性。

关键词:综合能源系统;灵活性资源;电-热-氢;低碳

中图分类号:TM715

文献标志码:A

DOI: 10.16081/j.epae.202311001

0 引言

在能源转型和"双碳"战略目标背景下,构建以多能耦合为核心的综合能源系统(integrated energy systems, IES)对提升能效水平、增强碳汇能力具有重要意义[1-2]。为突破目前可再生能源面对的困境,需要拓展传统系统用能方式,挖掘利用城市多能系统蕴含的巨大灵活性[3]。其中,氢能作为未来国家能源体系的重要组成部分,具备低碳清洁、长期储存、等密度能储量高及生产消纳多元等优势,是终端用能实现低碳灵活协调运行的重要元素[4]。

在电-热-氢IES研究方面,我国东北地区因地制宜,已在多处风光资源丰富的区域大力发展电-热-氢IES^[5]。氢储方式主要采用碱性电解^[6]、质子交换膜电解^[7]、固体氧化物电解^[8]这3种技术路线,其中固体氧化物电解池(solid oxide electrolytic cell,SOEC)、固体氧化物燃料电池(solid oxide fuel cell,SOFC)因其具有高能效、逆向运行等优势,已成为了IES优化的研究热点。文献[9]计及风电不确定性,运用氢储能整合间歇性电源与电力系统的优化配置。文献[10]考虑氢能系统热回收利用,分析氢储能的电-热协调运行能力。文献[11]制定电-氢储能能量管理策略,并基于此策略完成平抑风光波动的储能容量配置。上述文献主要以电-热、电-氢耦合为主,提供最优配置及协调优化方案,但忽略了城市级一体化电-热-氢多能耦合的互补影响。

在灵活性资源研究方面,相较于传统电网中的

收稿日期:2023-07-07:修回日期:2023-10-17

在线出版日期:2023-11-16

基金项目: 国家重点研发计划项目(2022YFB2404001)

Project supported by the National Key R&D Program of China(2022YFB2404001)

能源单一性、分配单向性,深度挖掘灵活性资源对于提升IES灵活调控裕度、促进源网荷互动协同具有积极作用[12]。文献[13]通过调集多种冷热负荷进行调控,优化系统规划方案。文献[14]通过提高部分弃风弃光率,利用配电网安全域方法,制定风、光电源消纳方案。文献[15]考虑多种不可控分布式电源和负荷,构建主动调控资源参与配电网协同规划的决策模型。上述研究大多对灵活性资源参与IES调控进行了分析,但对于含氢能IES的多能互补及供需互动的协同优势尚未开展系统深入的研究。

在碳排交易及能流刻画研究方面,文献[16]将碳交易和碳税引入系统决策,制定光热电站及氢储能的IES低碳运行策略。文献[17]构建计及统一时间尺度的顺序协同估计框架,基于对称正定理论,完成IES协同状态估计。上述研究的碳交易计算主要采用宏观统计的办法[18],即整合各类燃料的消耗总量和碳排放因子计算碳排放量[19],但其具有一定的滞后性并脱离了系统的潮流约束,并且无法直观呈现出碳排放在能源产生、转化及消耗的流动过程。

综上所述,本文对区域电-热-氢IES低碳灵活调控进行研究,挖掘多能系统多元灵活性资源,提出一种基于负荷碳排信息的能量溯源方法,描述IES碳排放流动过程;计及多能联供效益、新能源渗透及低碳减排,建立低碳灵活协调模型;以城市区域系统为研究对象,模拟多场景多能耦合的调控效果,分析风光出力间歇性和灵活性资源调整对系统运行的影响,并评估其综合效益。通过负荷碳排放信息流刻画多能耦合系统互动互联响应,从而对所提方法进行验证。

1 电-热-氢能流交互拓扑与调控策略

构建电-热-氢IES多能流交互拓扑如图1所示。

119

该系统由电热供/用能及氢能子系统组成,包括电、热、氢3种能量流。其中,供能子系统由热电联产(combined heat and power,CHP)、风电、光伏以及电制热设备组成;用能子系统由根据差异化行业布局划分的多种用电负荷以及生活/生产用热负荷组成;氢能子系统由SOEC/SOFC、氢储能、氢燃料汽车等小型用氢单元以及氢能外送组成。由于市内工商以及居民的电、热能流拓扑存在强相似性,因此基于电热架构的能流调控具有较高的协同效果;并且氢能子系统利用电-氢-电(热)的能量流动完成用供/用能的深度交互,便于实现多能耦合的转化与协同。在此过程中,可以考虑将源-储-荷侧的灵活资源作为参与系统调控的辅助手段,其中SOEC、SOFC作为电-热-氢转化设备,CHP、电制热设备作为电热转化设备。

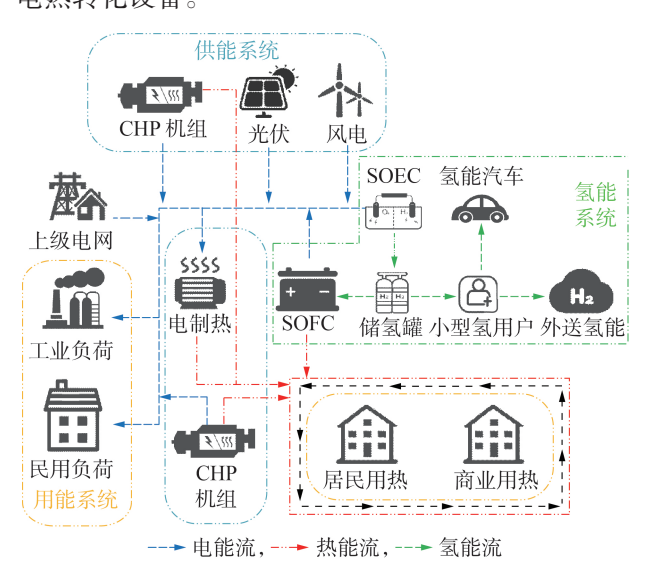


图 1 电-热-氢 IES 能流交互拓扑图

Fig.1 Topology diagram of electricity-heat-hydrogen IES energy flow interaction

针对新能源出力的间歇性问题,基于电-热-氢能流交互拓扑研究协同调控策略。当风光供能充足时,风光电源既可选择上网供电也可选择电氢转化,由 SOEC 吸纳功率以氢能形式存储;当风光供能匮乏时,通过氢电转化的方式,由 SOFC 补足系统缺额^[20]。在季节性热能耗费阶段,通过以 CHP 为主、电热转化为辅的途径满足供暖需求^[21];同时发挥 SOFC产电生热优势完成氢热转化补充,以填补系统的热功率缺额。另外,氢储可作为能量载体进入交通、环保、化工、冶金等行业。

2 灵活性资源参与多能耦合建模

电-热-氢IES发挥多能耦合优势,通过多能流互补协调控制缓解供需不平衡压力,并利用多种灵活资源消纳可再生能源。在此过程中,需构建电-热-

氢的多能耦合模型与可控负荷调控模型。

2.1 电能替代灵活性资源

2.1.1 电-氢耦合

SOEC、SOFC具有高效、清洁等优点,是电-热-氢IES的耦合枢纽。通过建设SOEC/SOFC在储能运行过程中动态吸收能量并适时释放,以平抑风光波动,并提升系统对可再生能源的消纳能力^[8],对应模型为:

$$M_t^{\text{SOEC}} = P_t^{\text{SOEC}} \eta_{\text{SOEC}} \Delta t / T^{\text{H}_2} \tag{1}$$

$$P_{t}^{\text{SOFC}} = M_{t}^{\text{SOFC}} \eta_{\text{SOFC}} \Delta t T^{\text{H}_{2}} \tag{2}$$

$$C_{\text{SOEC/SOFC}} = \sum_{i=1}^{n} \left(\alpha_{\text{SOEC}} P_{\text{max}}^{\text{SOEC}}(i) + \alpha_{\text{SOFC}} P_{\text{max}}^{\text{SOFC}}(i) + \beta_{\text{SOFC}} H_{\text{max}}^{\text{SOFC}}(i) \right)$$
(3)

式中: M_{ι}^{SOEC} 、 M_{ι}^{SOFC} 分别为 ι 时刻的SOEC产氢功率、SOFC耗氢功率; P_{ι}^{SOEC} 、 P_{ι}^{SOFC} 分别为 ι 时刻的SOEC耗电功率、SOFC发电功率; η_{SOEC} 、 η_{SOEC} 分别为SOEC、SOFC的工作效率; $T^{H_{\iota}}$ 为氢气的高热值; $C_{SOECSOFC}$ 为SOEC / SOFC 协同成本; α_{SOEC} 、 α_{SOFC} 和 β_{SOFC} 分别为SOEC、SOFC 单位电功率成本和SOFC单位热功率成本; P_{\max}^{SOEC} (i)为第i台SOEC的最大耗电功率; P_{\max}^{SOFC} (i)、 H_{\max}^{SOFC} (i)分别为第i台SOFC的最大发电功率、热功率;n为氢储一体化装置数量; Δt 为单位时段时长。

2.1.2 氢储灵活性资源

在灵活性需求、自然环境条件要求下,本文采用 钢质碳纤维缠绕大容积储氢容器作为氢储装置,其 模型为:

$$P_{\mathrm{F}} = \frac{\left| \sum_{i} P_{\mathrm{F}, \uparrow}^{i} - \sum_{i} P_{\mathrm{F}}^{i} \right|}{\left| \sum_{i} P_{\mathrm{F}, \uparrow}^{i} \right|} \tag{4}$$

$$\gamma = \frac{\sum_{i} P_{F}^{\text{max}}}{(P_{T} + P_{W}) \eta^{H_{2}}}$$
 (5)

$$C^{\rm H_2} = \sum_{i=1}^n \frac{E_{\rm IN}^{\rm H_2}}{\rho^{\rm H_2}} C_{\rm BOX}^{\rm H_2}(i) + C_{\rm YW}^{\rm H_2}$$
 (6)

式中: P_F 表征源侧灵活性; P_F^i 、 $P_{F,\uparrow}^i$ 分别为增添第i台氢储前、后的源侧灵活功率; P_T^{max} 为源侧最大灵活功率; γ 为氢储匹配度; η^{H_2} 、 P_T 、 P_W 分别为清洁能源转化效率、光伏出力、风电出力; C^{H_2} 、 C^{H_2} 、 C^{H_3} 、i0、i0、i0、i0、i0、i0 为别为氢储总成本、第i1 台储氢罐成本、储氢罐运维成本、储氢日进量、氢气密度。

2.1.3 电-热耦合

抽气式 CHP相比于背压式 CHP更具灵活性,有利于与电制热设备和 SOFC 供热设备协同配合,提高 IES 的电热调节能力,其模型为:

$$P_t^{\text{CHP}} = \mu_{\text{CHP}} H_t^{\text{CHP}} + W^{\text{CHP}}$$
 (7)

$$C_{\text{CHP}} = \sum_{t=1}^{24} \left[S_{\text{CHP}}^{\text{a}} (P_{t}^{\text{CHP}} + \mu_{\text{CHP}} H_{t}^{\text{CHP}})^{2} + S_{\text{CHP}}^{\text{b}} (P_{t}^{\text{CHP}} + \mu_{\text{CHP}} H_{t}^{\text{CHP}}) + S_{\text{CHP}}^{\text{c}} \right]$$
(8)

式中: C_{CHP} 为 CHP 机组运行成本; P_t^{CHP} 、 H_t^{CHP} 分别为t时刻 CHP 机组的供电功率、供热功率; μ_{CHP} 、 W^{CHP} 分别为 CHP 机组提升单位热功率时电功率的减少值、CHP 机组供电常数; S_{CHP}^a 、 S_{CHP}^b 、 S_{CHP}^c 为 CHP 机组的特征系数。

2.1.4 氢-热耦合

SOFC 发挥氢-热转化优势,补充 IES 热负荷相对缺额,其氢-热转化模型为:

$$H_t^{\text{SOFC}} = P_t^{\text{SOFC}} \kappa_{\text{SOFC}} \tag{9}$$

式中: H_t^{SOFC} 、 κ_{SOFC} 分别为t时刻SOFC的热功率、热电转化系数。

2.1.5 电制热灵活性资源

电制热设备可以降低 CHP 供热负担,通过消耗电能为热用户提供高品位热能,为风光电能消纳提供了一条额外途径,其模型为:

$$\begin{cases}
0 \leqslant P_t^{\text{EB}} \leqslant P_{\text{max}}^{\text{EB}} \\
H_t^{\text{EB}} = \mu_{\text{EB}} P_t^{\text{EB}} \\
C_{\text{EB}} = \omega_{\text{EB}} \sum_{t=1}^{24} P_t^{\text{EB}}
\end{cases}$$
(10)

式中: μ_{EB} 为电制热设备电热转换效率; H_t^{EB} 为t时刻电制热设备热功率; P_t^{EB} 、 P_{max}^{EB} 分别为t时刻电制热设备功率及其最大值; ω_{EB} 、 C_{EB} 分别为电制热设备的电能转换系数、成本。

2.2 电能灵活性资源

本文的电能灵活性资源以负荷为主,可分为工用、商用及民用3类。研究表明[12],工业负荷具有耗电量大、集中可控容量大等特点,可以作为灵活资源参与调控的主要因素,电能灵活性资源负荷曲线如附录A图A1所示。

根据差异化行业布局特点,通过改变企业生产计划、调整运行时间等措施,转移削减部分用电负荷以响应系统调控。对于可控负荷,主要分为长时(5~10 h)响应和短时(1~3 h)响应,长时响应适用于用电相对平稳且持续时间长的负荷,短时响应适用于存在显著波动且用电时间相对集中的负荷。结合某省工业用户调研统计情况,依据负荷调整特性选取4种可控负荷:可控负荷1代表制造业可控负荷,长时间保持稳定用电量,且具有明显的升降趋势,其调整特性为长时段可转移负荷;可控负荷2代表轻工业负荷,具有明显的波峰和相对集中的用电时段,其调整特性为短时段高峰平移再分配负荷;可控负荷3代表生产加工业负荷,用电量相对平稳,且具有明显的间歇特性,其调整特性为长时段可提前或延迟负荷;可控负荷4代表冶金业负荷,负荷波动明显且

具有较大的峰谷差,其调整特性为短时段可削减负荷。4种典型负荷日波动曲线及相应调整特性曲线如附录A图A2所示。

根据4种典型负荷用电行为及其调整特性,构建其灵活性经济模型,如式(11)—(15)所示。

$$C_{L} = \sum_{l=1}^{4} C_{L}(l) \tag{11}$$

$$C_{\rm L}(l) = \sum_{t=T_{\rm r}(l)}^{T_{\rm r}(l)} P_{\rm t}(l) C_{\rm t}^{\rm type}(l)$$
 (12)

$$T_{\rm e}(l) = T_{\rm b}(l) + T_{\rm c}(l)$$
 (13)

$$\varepsilon = \sum_{t=T_{h}(l)}^{T_{e}(l)} \frac{\sum_{l=1}^{4} P_{t}(l)}{P_{t}^{\max}}$$
(14)

$$L_{\rm F} = \frac{\left| \sum_{l} L_{\rm F, \uparrow}^{l} - \sum_{l} L_{\rm F}^{l} \right|}{\left| \sum_{l} L_{\rm F, \uparrow}^{l} \right|} \tag{15}$$

式中: C_L 为负荷调控总成本; $C_t^{\text{type}}(l)$ 为t时刻可控负荷l参与调控的补偿价格; $T_b(l)$ 、 $T_c(l)$ 、 $T_c(l)$ 分别为可控负荷l的开始、持续及结束时刻; ε 为可控负荷参与度; $C_L(l)$ 、 $P_t(l)$ 分别为可控负荷l参与调控的运行成本及其t时刻的调整功率; L_F 为荷侧灵活性; P_t^{max} 为t时刻荷侧最大灵活功率; L_F^{t} 、 L_F^{t} 、 L_F^{t} , L_F^{t} 分别为可控负荷l参与前、后的荷侧灵活功率。

2.3 供能网络建模

供能网络模型主要由电网和热网模型组成,其网架结构类似,均可成为能量转化、流动的载体。

2.3.1 电网模型

电网模型采用经典交流潮流模型,如式(16) 所示。

$$\begin{cases} P_x = U_x \sum_{y=1}^{n_x} U_y \Big(G_{xy} \cos \theta_{xy} + B_{xy} \sin \theta_{xy} \Big) \\ Q_x = U_x \sum_{y=1}^{n_x} U_y \Big(G_{xy} \sin \theta_{xy} - B_{xy} \cos \theta_{xy} \Big) \end{cases}$$
(16)

式中: $P_x \setminus Q_x$ 分别为节点x注入的有功功率和无功功率; U_x 为节点x的电压幅值; $G_{xy} \setminus B_{xy}$ 分别为节点导纳矩阵中节点 $x \setminus y$ 对应的电导、电纳; θ_{xy} 为节点 $x \setminus y$ 间的电压相位差; n_E 为电力系统的节点数。

2.3.2 热网模型

为了便于描述热能流动,假设热网各节点回水温度恒定,且同一时段热负荷需求相同^[22],如式(17) 所示。

$$\frac{T_{s} - T_{o}}{T_{s} - T_{a}} m_{k} = \frac{\frac{\lambda_{1} L_{1}}{d_{1}} + \frac{\lambda_{2} L_{2}}{d_{2}} + \dots + \frac{\lambda_{k} L_{k}}{d_{k}}}{c_{w}} + \frac{\phi_{j,t}^{H}}{c_{w} (T_{s} - T_{a})} (17)$$

式中: T_s 、 T_o 分别为节点供水、回水温度; T_a 为环境温度; m_k 为管道k的流量,定义管道流量标幺值 d_1 =



 m_1/m_k 、 $d_2=m_2/m_k$ 、…、 $d_{k-1}=m_{k-1}/m_k$ 、 $d_k=1$; λ_k 、 L_k 分别 为管道k的传热系数、长度; c_w 为水比热容参数; $\phi_{j,t}^{\text{H}}$ 为t时刻热网节点j的热负荷。

3 基于电-热-氢交互的碳流拓扑描述

电-热-氢能量传输和转换过程中,嵌入在各能流中的碳依附于IES中的能量传输环节进行转移^[23]。随着异质能流的转换,碳排放也随之在不同能源系统中流动^[18-19]。本文考虑潮流约束计算IES负荷碳排放,描述多时间尺度下能量生产与消费过程中碳排放的转换关系。

基于分布式并网潮流约束的负荷碳排模型为:

$$\begin{cases} P_{B}^{xy} = \begin{cases} P_{xy} & P_{xy} > 0 \\ 0 & P_{xy} \leq 0 \end{cases} \\ P_{G}^{gy} = \begin{cases} P_{gy} & g, y \in G \\ 0 & g, y \notin G \end{cases} \\ P_{L}^{my} = \begin{cases} P_{my} & m, y \in M \\ 0 & m, y \notin M \end{cases} \\ P_{z} = [P_{B} P_{G}]^{T} \\ P_{N} = \operatorname{diag}(\xi_{N+K} P_{z}) \\ E_{N} = (P_{N} - P_{B}^{T})^{-1} P_{G} E_{G} \\ R_{L} = P_{L} E_{N} \end{cases}$$

$$(18)$$

式中: P_B^{xy} 为支路潮流分布矩阵 P_B 的第x行第y列元素; p_{xy} 为流经支路xy的有功功率; P_C^{yy} 为电源注入矩阵 P_C 的第g行第y列的元素; p_{yy} 、G分别为第g台机组接入节点y的有功功率及电源集合矩阵; P_L^{my} 为负荷分布矩阵 P_L 的第m行第y列的元素; p_{my} 、M分别为第m个负荷接入节点y的有功功率及负荷集合矩阵; P_x 、 P_N 、 ξ_{N+K} 、 E_N 、 E_C 分别为辅助矩阵、节点有功通量矩阵、N+K阶行向量、节点碳势向量、各电源碳排放强度;N、K分别为 P_C 的行、列数; R_L 为负荷碳排向量。

基于负荷碳排信息,提出电-热-氢交互能流溯源方法。热网碳排放流动依附于供热管道中介质的流动,遵循碳排放量守恒定律,利用热负荷交换能量沿供热路径逆向推导热源碳排,构建模型如式(20)所示。

$$\mathbf{R}^{\mathrm{H}_{\mathrm{L}}} = \mathbf{P}^{\mathrm{H}_{\mathrm{L}}} \mathbf{E}^{\mathrm{H}_{\mathrm{L}}} \tag{20}$$

式中: R^{H_L} 、 P^{H_L} 、 E^{H_L} 分别为热负荷碳排向量、热网负荷向量及单位热负荷碳排强度。

氢能系统集中于分布式电源接入节点,其碳排依赖于该节点耦合的电热负荷,构建模型如式(21) 所示。

$$R^{\mathrm{H}_2} = \sum_{c} (P^{\mathrm{H}_L}(c) + P_{\mathrm{L}}(c)) E^{\mathrm{H}_2}(c)$$
 (21)

式中: R^{H_2} 为氢负荷碳排量; $P^{H_L}(c)$ 、 $P_L(c)$ 、 $E^{H_2}(c)$ 分别

为氢-热节点负荷、氢-电节点负荷、单位氢负荷碳排强度;c表示氢能耦合节点。

4 电-热-氢IES协调运行模型

考虑电-热-氢IES的灵活调控成本、风光消纳能力及多能交互碳排,分析灵活性资源参与的电-热-氢IES协调运行综合效益。

4.1 目标函数

4.1.1 灵活调控成本

主要考虑系统外购成本、设备成本、运维成本以及灵活性资源参与补偿成本,定义系统总经济成本指标 C_1 来评价灵活调控成本,即:

$$C_{1} = C_{L} + C_{CHP} + C_{SOEC/SOFC} + C^{H_{2}} + C^{LOSS} + C^{UP}_{H_{1}} + C^{UP}_{L}$$
(22)

$$\begin{cases} C^{\text{LOSS}} = S^{\text{h}} H^{\text{LOSS}} + S^{\text{e}} P^{\text{LOSS}} \\ H^{\text{LOSS}} = \sum_{t=1}^{24} \sum_{k=1}^{n_{\kappa}-1} c_{w} m_{k} \Delta T_{k,t} \\ P^{\text{LOSS}} = \sum_{x=1}^{n_{\text{E}}} \frac{P_{x}^{2} + Q_{x}^{2}}{U_{x}^{2}} R_{x} \end{cases}$$
(23)

式中: C^{LOSS} 、 H^{LOSS} 、 P^{LOSS} 分别为电热网络网损成本、热网损耗、电网损耗; S^{h} 、 S^{e} 、 $\Delta T_{k,t}$ 分别为单位热网网损成本、单位电网网损成本、热管道k在t时刻的首末端温差; R_x 为节点x所连支路阻抗; $C^{\text{LP}}_{\text{H_2}}$ 、 C^{LP}_{L} 分别为系统购氢成本、上级电网购电成本; n_{K} 为热能系统的节点数。

4.1.2 风光消纳能力

构建风光使用率指标 C_2 来评价新能源消纳能力,即:

$$C_{2} = \frac{\sum_{t=1}^{24} (P_{\mathrm{T}}(t) + P_{\mathrm{W}}(t)) - P_{\mathrm{q}}}{\sum_{t=1}^{24} (P_{\mathrm{T}}(t) + P_{\mathrm{W}}(t))}$$
(24)

$$Z(t) = P_t^{L} - P_t^{CHP} + P_t^{SOEC} - P_t^{SOFC}$$
 (25)

$$P_{q} = \sum_{t=1}^{24} (P_{T}(t) + P_{W}(t) - Z(t))$$
 (26)

式中: P_t^{L} 、 $P_{\text{T}}(t)$ 、 $P_{\text{W}}(t)$ 分别为t时刻系统电负荷、光伏出力、风电出力;Z(t)为考虑储能装置和CHP机组的t时刻系统等效电负荷; P_a 为弃风弃光量。

4.1.3 多能交互碳排

定义多能交互碳排指标 C_3 来评价IES环境效益,即:

$$C_3 = \psi_1 P_{up} + \text{sum}(R_L) + \text{sum}(R^{H_L}) + R^{H_2}$$
 (27)

$$P_{\rm up} = \sum_{t=1}^{24} Z(t) - \sum_{t=1}^{24} (P_{\rm T}(t) + P_{\rm W}(t)) + P_{\rm q}$$
 (28)

式中: P_{up} 为上级购电量; ψ_1 为上级电网单位电量碳排放系数; $sum(\cdot)$ 表示矩阵元素求和。

4.2 约束条件

本文约束条件包括电能平衡约束、热能平衡约束、氢能平衡约束以及风光不确定性约束。其中风光不确定性约束,考虑风光电源波动性和间歇性影响,构建基于正态分布的出力置信水平,确定风光出力不确定性区间^[24]。假设风光出力服从基于年功率均值的正态分布,置信水平取 0.95。风电和光伏的年功率均值和极限功率示意图如附录 A 图 A3、A4所示,约束的具体表达式见附录 A 式(A1)—(A7)。

4.3 模型求解

基于电-热-氢IES协调策略的建模求解过程如图2所示。本文采用改进种群粒子算法进行求解,并利用电-热-氢交互模型结合异质能流信息,构建能流拓扑。同时,考虑灵活性资源和辅助决策体系影响,制定多能调控策略,以实现IES的经济、高效、环保。最后,在不同场景下得出协同调控方案,分析电-热-氢系统的源荷协同特性。

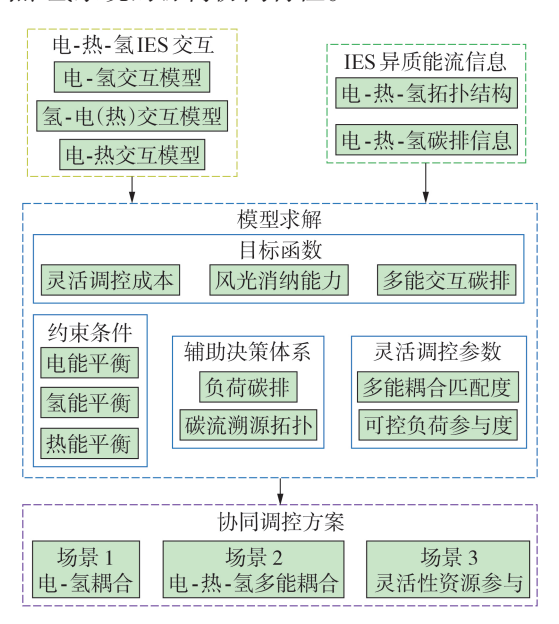


图2 电-热-氢IES低碳灵活协调策略

Fig.2 Low-carbon flexible coordination strategy of electricity-heat-hydrogen IES

5 算例分析

5.1 基本信息

本文以东北地区某实际电-热-氢耦合系统为研究对象,区域能源架构如附录B图B1所示,其中供用电子系统为47节点系统,用电负荷上限为7792.74 kW;热能系统为45节点系统,季节性热负荷上限为1255.02 kW。区域能源包含风光、CHP和上级电网,其中CHP接在电网根节点和热网节点32,具体参数见附录B表B1;风电及光伏电源接入节点20、47、43,并将SOEC/SOFC作为风光电源补充安装于相应节点处,具体参数见附录B表B2;考

虑风光波动性与间歇性影响,基于其不确定性约束,确定风光电源的出力,区间覆盖率为1,结果见附录B图B2。根据热网布局与区域实际需求,将SOFC接在节点1、15、33处。负荷为电、热、氢典型日负荷,其中4种典型可控负荷,即制造业、造纸业、农副产品加工业及冶金业负荷分别位于节点38、36、10和26;热网管道长度、传热系数等参考文献[25];氢负荷主要由氢能源汽车、SOFC及其他小型氢负荷组成。冬季典型用电负荷、热负荷如附录B图B3所示,峰谷平期电价见附录B表B3,可控负荷参与调控的补偿电价见附录B表B4。

结合实际系统运行情况设置3种供能场景。

- 1)场景1:考虑季节性电-热耦合供能,CHP机组、风光电源和上级电网为主要系统供能方式。
- 2) 场景 2: 考虑氢能参与的电-热联供,通过 SOEC 完成氢储,利用 SOFC 进行氢-电、氢-热转换, 在源侧实现电能替代灵活性资源。
- 3)场景3:考虑可控负荷参与多能耦合调控,在 荷侧挖掘灵活性资源协同潜力。

5.2 IES协调场景分析

不同场景中IES协调运行多评价指标体系的 Pareto解集如附录B图B4所示。场景1采用电-热耦 合的供能方式,随着风光渗透率的提升,系统运行成 本增大,碳排放量降低,场景2、3存在相同的分布趋 势。场景2中电-氢、氢-电及氢热转化的接入,使得 经济成本相比于场景1指标增大10.61%、风光使用 率提高2.76%、碳排放量降低3.893%、源荷灵活性 提升1.353;而在场景3中随着灵活性资源参与IES 后,各评价指标都出现明显提升,其中经济成本下降 4.71%,风光使用率上升2.57%,碳排放量下降 0.943 %,源荷灵活性提升 0.213,同时使得 IES 峰谷 差降低4.17%,多目标优化与灵活性提升结果见表1。 不难看出,系统碳排主要由CHP和负荷产生,风光 资源的接入可以有效降低系统碳排放量,而灵活性 资源的参与又改善了风光使用率,从而进一步降低 了碳排效果。另外,SOEC/SOFC也在一定程度上 发挥了降低系统碳排的辅助作用。

表1 多目标优化与灵活性提升结果

Table 1 Multi-objective optimization and flexibility improvement results

指标		提升结果					
	1日7小	场景1	场景2	场景3			
组	经济成本 / 万元	7.657	8.470	8.071			
区	八光使用率/%	88.340	91.110	93.680			
	碳排放量/t	18.750	18.020	17.850			
	源侧灵活性	1.000	1.633	1.633			
	荷侧灵活性	1.000	1.720	1.933			

场景 2 中 IES 典型日内源-荷-储波动时序特性的分析结果如图 3 — 5 所示。



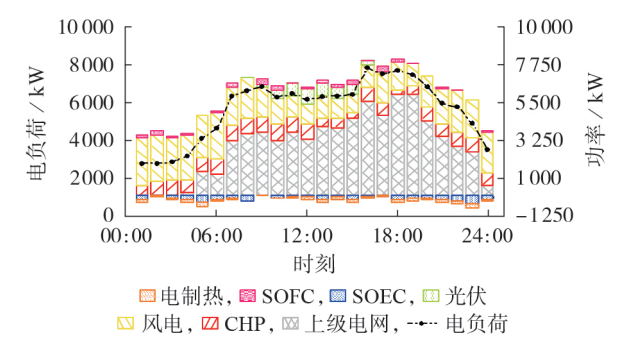


图 3 场景 2 的电能时序变化结果

Fig.3 Time-sequence change results of electric energy in Scenario 2

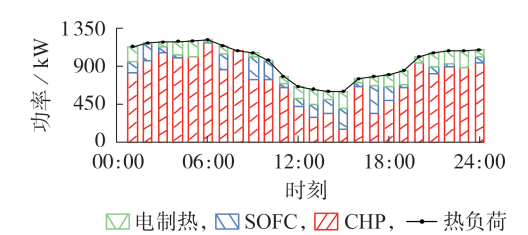


图 4 场景 2 的热能时序变化结果

Fig.4 Time-sequence change results of thermal energy in Scenario 2

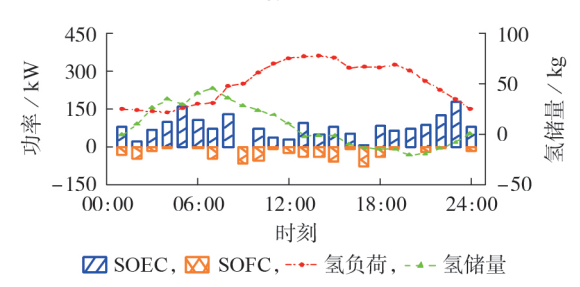


图 5 场景 2 的氢能时序变化结果

Fig.5 Time-sequence change results of hydrogen energy in Scenario 2

氢储能参与后对供用电系统的影响见图 3。在 07:00—15:00 的用电高峰时段,风资源短缺但光照资源相对充足,SOFC通过氢-电转化补充电能缺额,SOEC 主要吸纳光伏波动的盈余电能;在 16:00—21:00 的风电出力增大时段,SOEC 吸收风电剩余能量,SOFC则配合其他电源补充供电;在 01:00—06:00和22:00—24:00 的用电低谷时段,CHP和风力资源较充足,SOEC 吸收过剩电能,SOFC则在热负荷需求约束下间歇性供电。结果表明,SOEC / SOFC可以有效平抑风光能源波动,并提升其使用率。

热能系统动态过程见图 4。高纬度地区的热能系统在各时段具有明显变化:01:00—07:00、19:00—24:00为热负荷高需求时段,以CHP供热为主,SOFC及其他电制热设备协同供能;19:00—23:00时段,CHP平稳供能,电制热设备逐渐退出工作;11:00—18:00时段,CHP调整出力满足低热负荷需求,SOFC

与电制热设备配合出力。

氢能系统变化见图 5,其中氢储量表示该时刻 氢能的储备情况。05:00—09:00时段,SOEC配合高用电需求和高风光产出,吸收能量逐渐增大,氢储量逐步爬升,且在09:00—13:00时段 SOFC 逐步释放氢能,以适应风光波动出力;17:00—20:00时段,由于风光出力降低而电热需求持续升高,氢储量降低以弥补能量短缺;21:00—23:00时段,用电需求降低,CHP出力升高满足热能需求,SOEC完成电-氢转化,氢储增加。

场景 3 中可控负荷对 IES 调控的影响分析结果 如图 6、7 及附录 B图 B5、B6 所示。

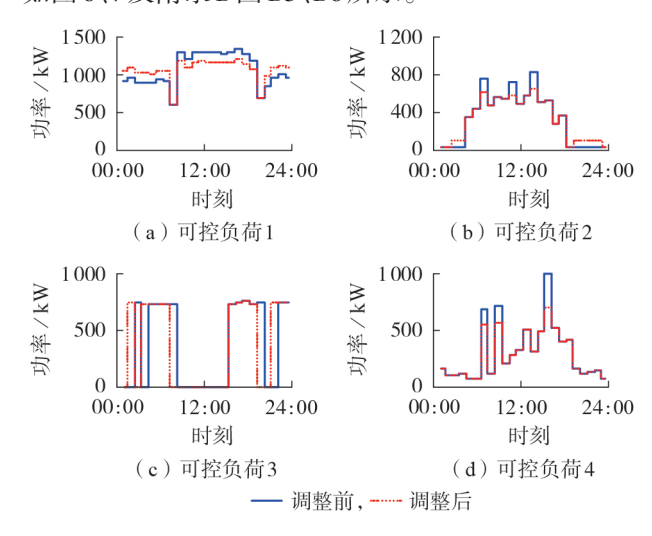


图 6 场景 3 的可控负荷调整结果 Fig. 6 Controllable load adjustment

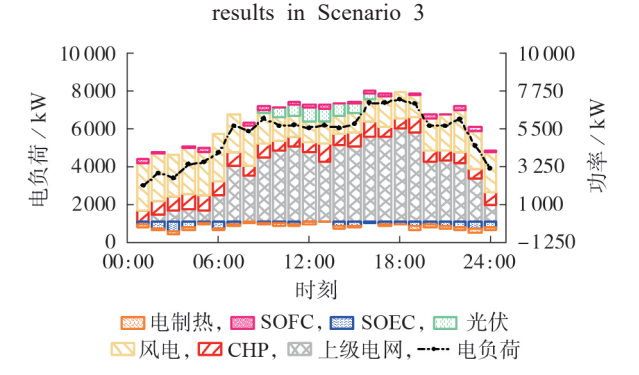


图 7 场景 3 的电能时序变化结果 Fig. 7 Time-sequence change results of

electric energy in Scenario 3

结合电能灵活性资源中的负荷特性分析,制定4类典型负荷调整方案,结果如图6所示。负荷1将10:00—20:00时段的部分用电高峰负荷转移至00:00—08:00和21:00—24:00这2个时段;负荷2将多时段的高峰负荷平移再分配于夜间的00:00—05:00、20:00—24:00时段;负荷3改变工作间歇时间,将午前负荷提前1h,20:00负荷延迟2h;负荷4将高峰用电时段进行不同程度的削减。通过制定调

控方案改变负荷波动,实现削峰填谷。

场景3通过调整可控负荷改善IES运行效益,结果见图7。08:00—16:00时段,风力资源较短缺,光照资源较充足,负荷用电削减;17:00—22:00时段,风电出力增加,光伏退出,负荷用电转移,SOEC/SOFC伴随源荷波动做出相应调整,氢能转化过程见图B5;00:00—04:00时段,CHP与风能充足,SOEC持续吸收电量,并转化为氢能存储,剩余电能以电制热形式配合CHP满足供热需求,热能转化过程见图B6;当CHP与热负荷间存在差额时,IES通过电制热设备和SOFC实现电-热、氢-热转化。

进一步研究不同灵活性资源参与模式下IES的协调运行效果,结果如附录B表B5所示。氢储匹配度升高,经济投入增加,风光消纳率提升,碳排放量降低;但是氢储匹配度过大时,负载增大,易导致源荷关系过度失衡,进而影响风光使用率和碳排放量,故本文选择75%氢储匹配度进行仿真求解。提高负荷参与度,可改善IES经济成本并减少弃风弃光率和碳排放量。

IES多能耦合与灵活资源协同的结果表明:

- 1)氢能与电-热耦合提高了IES灵活调节能力, 通过多能协同平抑风光波动并提升新能源使用率, 降低系统碳排;
- 2)通过需求响应合理调整负荷灵活资源,提升了系统的灵活裕度,减小用电峰谷差,促进低碳能源的消纳与渗透。

5.3 电-热-氢交互碳流拓扑

基于电-热-氢交互的碳排放行为进行IES协调运行辅助决策,负荷灵活性资源调整方案见表2,不同场景下的负荷碳排放量结果见附录B图B7,节点碳排放量对比见图8。

对比表2中的节点负荷调控措施与图8中的节点负荷碳排放量可知,通过不同负荷灵活性资源调整可改变节点负荷碳排,同时通过节点碳排变化可以刻画负荷调整方案。为进一步研究碳排对调控的

表2 不同负荷灵活性资源调整方案

Table 2 Different load flexibility resource adjustment schemes

可控负荷	方案	措施
1	转移负荷	将10:00—20:00时段的负荷转移至 00:00—08:00、21:00—24:00时段
2	平移再分配 负荷	将 12:00、15:00、08:00的负荷平移 再分配至 02:00—05:00、 20:00—24:00的连续时段
3	提前或延迟 负荷	改变用电时序,将04:00—09:00时段的 负荷提前至03:00—08:00时段, 将20:00—21:00时段的负荷整体延后1h
4	削减负荷	基于负荷用电特性,适当削减 08:00、10:00、17:00的负荷

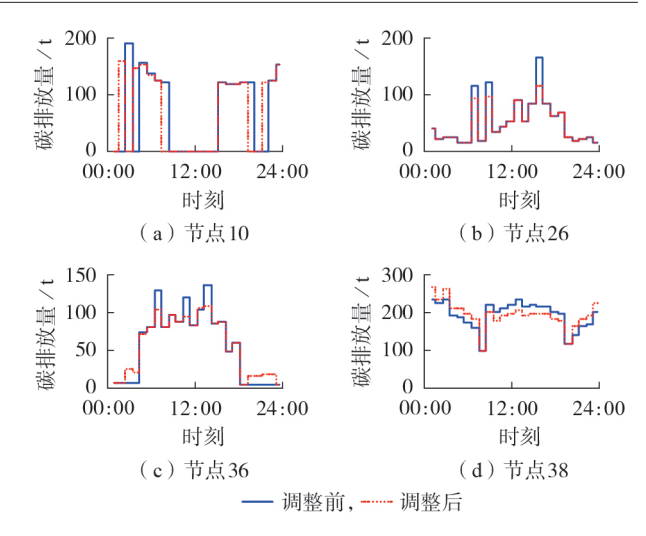


图 8 节点碳排放量对比

Fig.8 Comparison of carbon emission among nodes

表征方法,对其典型时段的碳流拓扑结果进行分析。

1)时段1:01:00—05:00。此时段内CHP与风能资源充足,IES主要由CHP机组和风电供电,SOEC通过电-氢转化存储过剩能源,风能接入电网的碳排放量为0。同时,电制热设备通过电-热转化分担热负荷。场景3中以可控负荷3为代表的4类负荷(即节点10、26、36和38所连负荷)调整缓解风能消纳的压力见附录B图B7(c),图8中节点10的负荷碳流时段前移,节点38的负荷碳流降低,结果表明在灵活资源参与下的IES碳排放量降低约3%,时段1的碳流拓扑结果见附录B图B8。

2)时段2:10:00—17:00。此时段内风资源短缺,但光照资源相对充足,IES主要由上级电网、CHP和风光电源供电,通过负荷调整削减高峰用电量。SOFC通过氢-电转化释放存储的氢能,并改善电网碳排放量;同时,通过氢-热转化与电制热设备缓解热负荷压力。该时段IES碳排放量降低约4%,碳流拓扑结果见附录B图B9。

3)时段3:19:00—21:00。此时段内风电出力增加,光伏退出,IES主要由上级电网、CHP和风电供电。风电供能范围减小,SOEC通过电-氢转化存储盈余电能,同时SOFC通过氢-热转化与其他电制热设备协同供热。通过负荷调整促进削峰填谷,IES碳排放量降低约5%,时段3的碳流拓扑结果见附录B图B10。

通过典型时段碳流动拓扑分析可知:该区域通过电能替代灵活性资源实现氢能与风光能源的适应型交互,同时补充路径减轻CHP供热负担,并为风光资源消纳提供新路径;电能灵活性资源虽不能直接存储风光能源,但通过负荷调整可有效促进风光消纳,使清洁能源的碳排拓展,降低IES碳排。



6 结论

本文研究了氢能参与IES的低碳灵活调控,所得结论如下。

- 1)电-热-氢交互为IES提供多种供用能模式,兼顾电热需求与新能源消纳。通过一体化氢储实现电能替代,并深度挖掘灵活性资源潜力,实现了能量的有序利用,推动了能源体系向清洁、高效、灵活转型,促进了绿色可持续发展。
- 2)考虑协同经济性、能源利用性和低碳技术性分析 IES 灵活协调的响应效果,可以较好地兼顾经济成本、可再生能源有效利用、源荷碳排等调控需求。
- 3)基于负荷碳排信息,进行电-热-氢交互能流 溯源,通过碳流拓扑可以直观反映异质能流的碳排 动态,为IES电碳耦合与协同管理提供辅助决策。

附录见本刊网络版(http://www.epae.cn)。

参考文献:

- [1]赵乐冰,王蕾,万灿,等.基于数据包络分析法的城市综合能源系统分环节能效评价[J].电力系统自动化,2022,46(17):132-141.
 - ZHAO Lebing, WANG Lei, WAN Can, et al. Segmented energy efficiency evaluation of urban integrated energy system based on data envelopment analysis method [J]. Automation of Electric Power Systems, 2022, 46(17):132-141.
- [2] 李家熙,王丹,周天烁,等. 面向综合能源系统的(火用)流计算模型[J]. 电力系统自动化,2022,46(24):45-56.
 - LI Jiaxi, WANG Dan, ZHOU Tianshuo, et al. Exergy flow calculation model for integrated energy system [J]. Automation of Electric Power Systems, 2022, 46(24):45-56.
- [3] 刘畅,卓建坤,赵东明.利用储能系统实现可再生能源微电网 灵活安全运行的研究综述[J].中国电机工程学报,2020,40 (1):1-18.
 - LIU Chang, ZHUO Jiankun, ZHAO Dongming, et al. A review on the utilization of energy storage system for the flexible and safe operation of renewable energy microgrids [J]. Proceedings of the CSEE, 2020, 40(1):1-18.
- [4] 黎静华,朱梦姝,陆悦江,等. 综合能源系统优化调度综述[J]. 电网技术,2021,45(6);2256-2272.
 - LI Jinghua, ZHU Mengshu, LU Yuejiang, et al. Review on optimal scheduling of integrated energy systems [J]. Power System Technology, 2021, 45(6):2256-2272.
- [5]《吉林省人民政府办公厅关于印发吉林省能源发展"十四五"规划的通知》政策解读[EB/OL]. (2022-08-24)[2023-07-01]. http://swt.jl.gov.cn/zcjd/8586334.html.
- [6] 沈小军,聂聪颖,吕洪. 计及电热特性的离网型风电制氢碱性电解槽阵列优化控制策略[J]. 电工技术学报,2021,36(3):
 - SHEN Xiaojun, NIE Congying, LÜ Hong. Coordination control strategy of wind power-hydrogen alkaline electrolyzer bank considering electrothermal characteristics [J]. Transactions of China Electrotechnical Society, 2021, 36(3):463-472.
- [7] 潘光胜, 顾伟, 张会岩, 等. 面向高比例可再生能源消纳的电氢能源系统[J]. 电力系统自动化, 2020, 44(23):1-10.
 - PAN Guangsheng, GU Wei, ZHANG Huiyan, et al. Electricity and hydrogen energy system towards accommodation of high proportion of renewable energy [J]. Automation of Electric

- Power Systems, 2020, 44(23):1-10.
- [8]高赐威,王崴,陈涛. 基于可逆固体氧化物电池的电氢一体化能源站容量规划[J]. 中国电机工程学报,2022,42(17):6155-6170
 - GAO Ciwei, WANG Wei, CHEN Tao. Capacity planning of electric-hydrogen integrated energy station based on reversible solid oxide battery [J]. Proceedings of the CSEE, 2022, 42(17):6155-6170.
- [9] 袁铁江,李国军,张增强,等. 风电-氢储能与煤化工多能耦合系统设备投资规划优化建模[J]. 电工技术学报,2016,31 (14):21-30.
 - YUAN Tiejiang, LI Guojun, ZHANG Zengqiang, et al. Optimal modeling on equipment investment planning of wind power-hydrogen energy storage and coal chemical pluripotent coupling system [J]. Transactions of China Electrotechnical Society, 2016, 31(14):21-30.
- [10] 罗講,任洲洋,温紫豪. 考虑氢能系统热回收的电氢区域综合能源系统日前优化运行[J/OL]. 电工技术学报. (2023-03-17) [2023-07-01]. https://doi.org/10.19595/j.cnki.1000-6753.tces. 221395.
- [11] 袁铁江,郭建华,杨紫娟,等. 平抑风电波动的电-氢混合储能容量优化配置[J/OL]. 中国电机工程学报. (2023-01-30)[2023-09-06]. https://doi.org/10.13334/j.0258-8013.pcsee.222572.
- [12] 李天格,胡志坚,陈志,等. 计及电-气-热-氢需求响应的综合能源系统多时间尺度低碳运行优化策略[J]. 电力自动化设备,2023,43(1):16-24.
 - LI Tiange, HU Zhijian, CHEN Zhi, et al. Multi-time scale lowcarbon operation optimization strategy of integrated energy system considering electricity-gas-heat-hydrogen demand response[J]. Electric Power Automation Equipment, 2023, 43(1): 16-24.
- [13] 代琼丹,杨莉,林振智,等. 考虑功能区差异性和虚拟储能的综合能源系统多元储能规划[J]. 电力自动化设备,2021,41(9): 182-190.
 - DAI Qiongdan, YANG Li, LIN Zhenzhi, et al. Multi-storage planning of integrated energy system considering functional area difference and virtual storage[J]. Electric Power Automation Equipment, 2021, 41(9):182-190.
- [14] 马世乾,张杰,商敬安,等. 考虑时序最优潮流的分布式电源 优化配置方法[J]. 电力系统及其自动化学报,2022,34(10): 112-119.
 - MA Shiqian, ZHANG Jie, SHANG Jing'an, et al. Optimal allocation method for distributed generations considering time series optimal power flow [J]. Proceedings of the CSU-EPSA, 2022, 34(10):112-119.
- [15] 高红均,刘俊勇. 考虑不同类型 DG 和负荷建模的主动配电网协同规划[J]. 中国电机工程学报,2016,36(18):4911-4922,5115.
 - GAO Hongjun, LIU Junyong. Coordinated planning considering different types of DG and load in active distribution network[J]. Proceedings of the CSEE, 2016, 36(18):4911-4922, 5115
- [16] 康重庆,程耀华,孙彦龙,等. 电力系统碳排放流的递推算法 [J]. 电力系统自动化,2017,41(18):10-16.
 - KANG Chongqing, CHENG Yaohua, SUN Yanlong, et al. Recursive calculation method of carbon emission flow in power systems [J]. Automation of Electric Power Systems, 2017, 41 (18):10-16.
- [17] 徐俊俊, 胡秦然, 张腾飞, 等. 计及多能流运行时序性的电-气互联系统协同状态估计[J/OL]. 电力自动化设备. (2022-12-16)[2023-09-06]. https://doi.org/10.16081/j.epae.202212012.
- [18] CHENG Yaohua, ZHANG Ning, WANG Yi, et al. Modeling



- carbon emission flow in multiple energy systems [J]. IEEE Transactions on Smart Grid, 2019, 10(4):3562-3574.
- [19] 崔杨,邓贵波,曾鹏,等. 计及碳捕集电厂低碳特性的含风电电力系统源-荷多时间尺度调度方法[J]. 中国电机工程学报, 2022,42(16):5869-5886,6163.
 - CUI Yang, DENG Guibo, ZENG Peng, et al. Multi-time scale source-load dispatch method of power system with wind power considering low-carbon characteristics of carbon capture power plant[J]. Proceedings of the CSEE, 2022, 42(16):5869-5886+6163
- [20] 袁铁江,高玲玉,谢永胜,等. 基于氢能的风-火耦合多能系统设计与综合评估[J]. 电力自动化设备,2021,41(10):227-233,255
 - YUAN Tiejiang, GAO Lingyu, XIE Yongsheng, et al. Design and comprehensive evaluation of wind-thermal power coupling multi-energy system based on hydrogen energy [J]. Electric Power Automation Equipment, 2021, 41(10): 227-233, 255.
- [21] BOLAT P, THIEL C. Hydrogen supply chain architecture for bottom-up energy systems models. Part 1: developing pathways [J]. International Journal of Hydrogen Energy, 2014, 39(17): 8881-8897.
- [22] 孙国强,王文学,吴奕,等. 辐射型电-热互联综合能源系统快速潮流计算方法[J]. 中国电机工程学报,2020,40(13):4131-4142.
 - SUN Guoqiang, WANG Wenxue, WU Yi, et al. Fast power flow calculation method for radiant electric-thermal interconnected integrated energy system [J]. Proceedings of the CSEE, 2020, 40(13):4131-4142.

- [23] 陈锦鹏,胡志坚,陈颖光,等. 考虑阶梯式碳交易机制与电制氢的综合能源系统热电优化[J]. 电力自动化设备,2021,41(9): 48-55
 - CHEN Jinpeng, HU Zhijian, CHEN Yingguang, et al. Thermoelectric optimization of integrated energy system considering ladder-type carbon trading mechanism and electric hydrogen production[J]. Electric Power Automation Equipment, 2021, 41 (9):48-55.
- [24] 王典,潘超,鹿丽,等. 计及风-光时序相关特性的源-储并网阶段式规划策略[J]. 东北电力大学学报,2020,40(4):1-10. WANG Dian, PAN Chao, LU Li, et al. Source-storage staged planning strategy considering wind-photovoltaic timing related characteristics[J]. Journal of Northeast Electric Power University,2020,40(4):1-10.
- [25] 张义志. 考虑多能网络的综合能源系统最优能流计算和恢复重构方法研究[D]. 北京:北京交通大学,2018.

 ZHANG Yizhi. Research on optimal energy flow calculation and restoration reconstruction method for integrated energy system considering multi-energy network [D]. Beijing: Beijing Jiaotong University,2018.

作者简介:

潘 超(1981—), 男, 副教授, 博士, 主要研究方向为电力系统稳定与电磁兼容(E-mail: 31563018@qq.com);

刘继哲(1999—),男,硕士研究生,通信作者,主要研究方向为综合能源系统(E-mail:1004887487@qq.com)。

(编辑 任思思)

Low-carbon optimization of integrated energy system considering hydrogen-storage integrated coordination

PAN Chao¹, LIU Jizhe¹, SUN Yong², LI Baoju², FANG Jiakun³, WANG Yao²

(1. Key Laboratory of Modern Power System Simulation and Control & Renewable Energy Technology,

Ministry of Education, Northeast Electric Power University, Jilin 132012, China;

- 2. State Grid Jilin Electric Power Co., Ltd., Changchun 130031, China;
- 3. State Key Laboratory of Advanced Electromagnetic Engineering and Technology,

Huazhong University of Science and Technology, Wuhan 430074, China)

Abstract: Aiming at renewable energy consumption, the coordinated regulation for the regional integrated energy system of electricity, heat and hydrogen is studied based on the multi-energy flow interaction topology. Considering the complementarity influence of flexible resources and heterogeneous energy flows, multi-evaluation indexes such as economic cost, new energy consumption and carbon emission are constructed to evaluate the electricity-heat-hydrogen regulation strategy. The electricity-heat-hydrogen interaction energy flow traceback method is proposed based on load carbon emission, and the carbon flow topology information is used to assist multi-energy regulation and decision-making. Through the simulation of an actual regional power grid, the enhancement effect of diversified flexible resource response on comprehensive benefit of integrated energy system is analyzed, and the source-load coordination of the electricity-heat-hydrogen system is studied, which verifies the effectiveness and rationality of the proposed method.

Key words: integrated energy system; flexibility resource; electricity-heat-hydrogen; low-carbon

附录 A

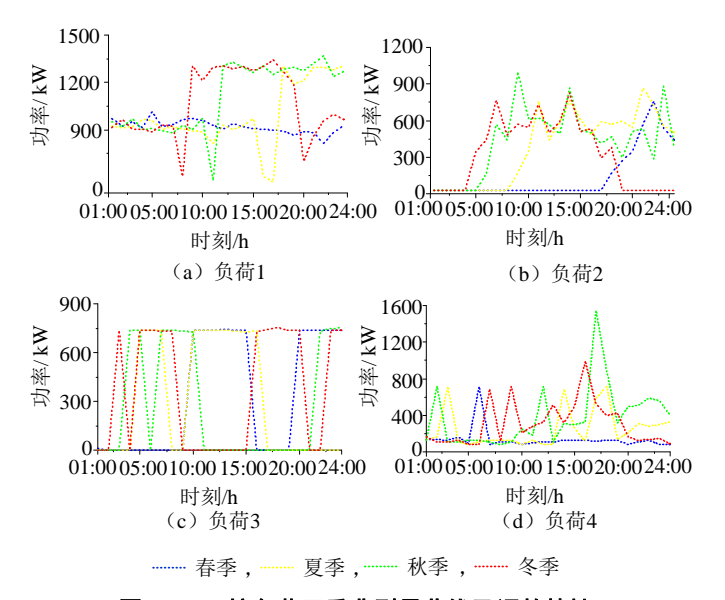


图 A1 可控负荷四季典型日曲线及调整特性

Fig.A1 Typical daily curve and adjustment characteristics of controllable load in four seasons

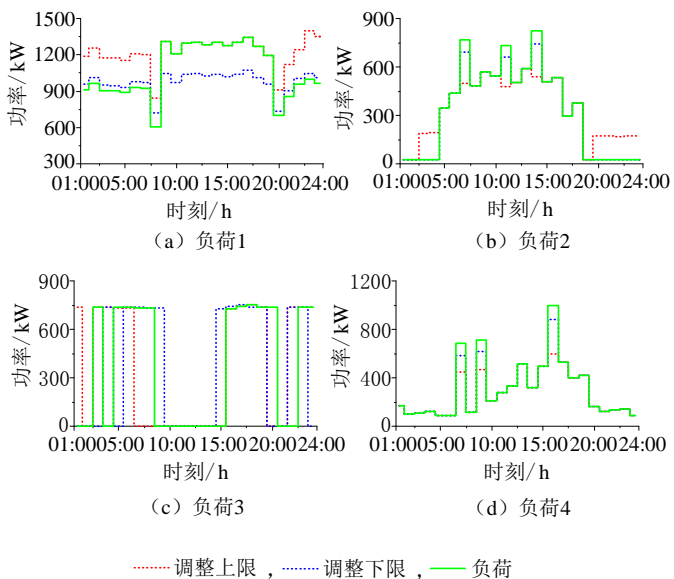


图 A2 可控负荷冬季典型日曲线及调整特性

Fig.A2 Typical daily curve and adjustment characteristics of controllable load in winter

1) 电能平衡约束。

$$P_{\rm W}(t) + P_{\rm T}(t) + P_{\rm up}(t) - P_{\rm q}(t) + P_{\rm t}^{\rm CHP} = Z(t)$$
 (A1)

$$V(i)_{\min} < V(i) < V(i)_{\max}$$
 (A2)

式中: $P_{\rm q}(t)$ 为 t 时刻系统弃风弃光量; V(i) 、 $V(i)_{\rm max}$ 、 $V(i)_{\rm min}$ 分别为节点 i 的电压及该节点允许的最大、最小电压偏移量。

2) 氢能平衡约束。

$$\begin{cases} e_{H_2}^{\min} \le e(t) \le e_{H_2}^{\max} \\ E_{H_2}^{\text{IN}}(t) - E_{H_2}^{\text{OUT}}(t) < e(t) + E_{H_2}^{\text{UP}}(t) \end{cases}$$
(A3)

$$e(t-1) + P_t^{\text{SOEC}} \mu_{\text{SOEC}} + M_{\text{H}_2}^{\text{UP}}(t) - M_{\text{H}_2}^{\text{L}}(t) - P_t^{\text{SOFC}} \mu_{\text{SOFC}} = e(t)$$
 (A4)

 $e_{\mathrm{H}_{2}}^{\mathrm{min}}$ 分别为 t 时刻储氢库进气、出气量及储氢库最大、最小容量; e(t)、 $M_{\rm H_2}(t)$ 、 $E_{_{
m H_2}}^{
m IN}(t)$ 分别为 t 时刻储氢库的储存量、氢负荷量、上级气网购气量; $\mu_{
m SOFC}$ 、 $\mu_{
m SOEC}$ 分 别为 SOFC 单位功率耗氢系数、SOEC 单位功率产氢系数。

3) 热能平衡约束。

$$H_t^{\text{CHP}} + H^{\text{EB}}(t) + H^{\text{SOFC}}(t) = H_{\text{L}}(t)$$
(A5)

式中: $H_{\rm I}(t)$ 为t时刻热负荷。

4) 风光出力不确定约束。

$$P_{\mathrm{T}}^{\min}(t) < P_{\mathrm{T}}(t) < P_{\mathrm{T}}^{\max}(t) \tag{A6}$$

$$P_{\rm W}^{\rm min}(t) < P_{\rm W}(t) < P_{\rm W}^{\rm max}(t)$$
 (A7)

 $P_{\mathrm{T}}^{\min}(t) < P_{\mathrm{T}}(t) < P_{\mathrm{T}}^{\max}(t)$ (6) $P_{\mathrm{W}}^{\min}(t) < P_{\mathrm{W}}(t) < P_{\mathrm{W}}^{\max}(t)$ (7) 大别为 t 时刻风、光功率极限区间最小值和最大值。 式中: $P_{\mathrm{T}}^{\mathrm{max}}(t)$ 、 $P_{\mathrm{W}}^{\mathrm{max}}(t)$ 和 $P_{\mathrm{T}}^{\mathrm{min}}$

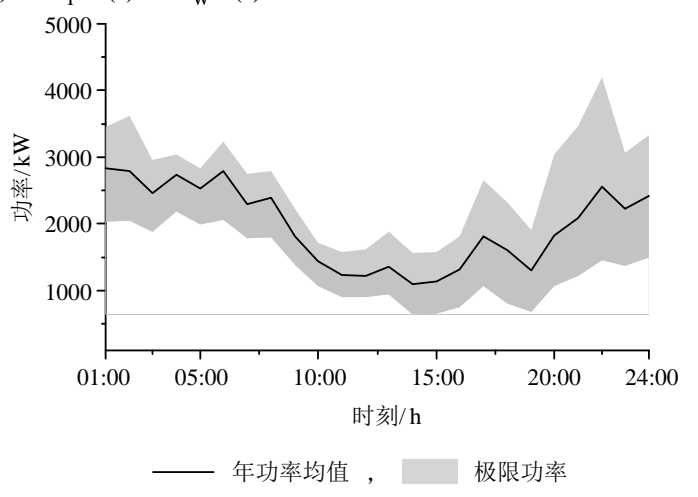


图 A3 风电年功率均值及极限功率调整

Fig.A3 Annual average power and limit power adjustment of wind power

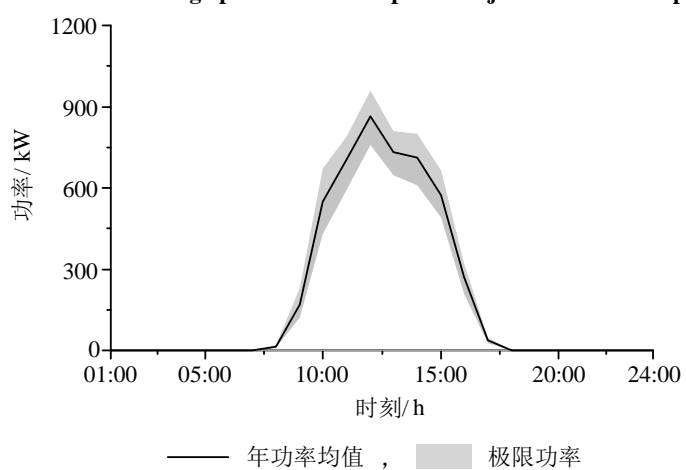


图 A4 光伏年功率均值及极限功率调整

Fig.A4 Annual average power and limit power adjustment of photovoltaic

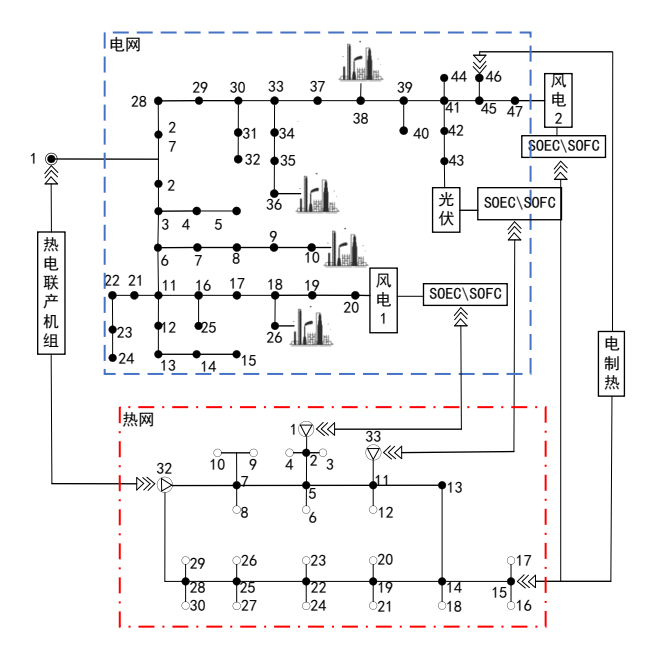


图 B1 区域能源架构示意图

Fig.B1 Schematic diagram of regional energy architecture

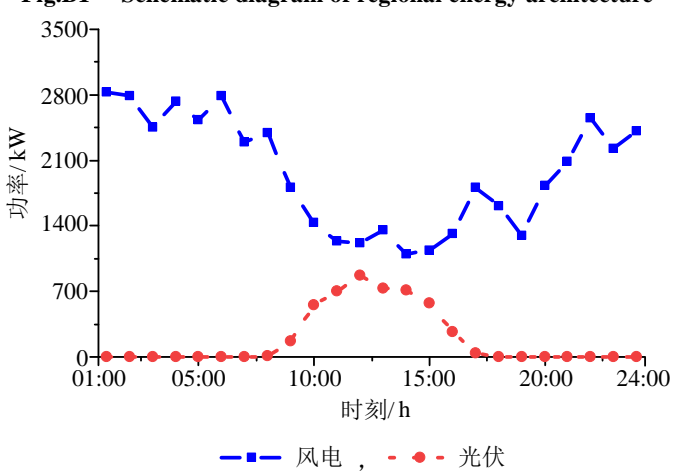


图 B2 风光电源出力

Fig.B2 Wind-solar power

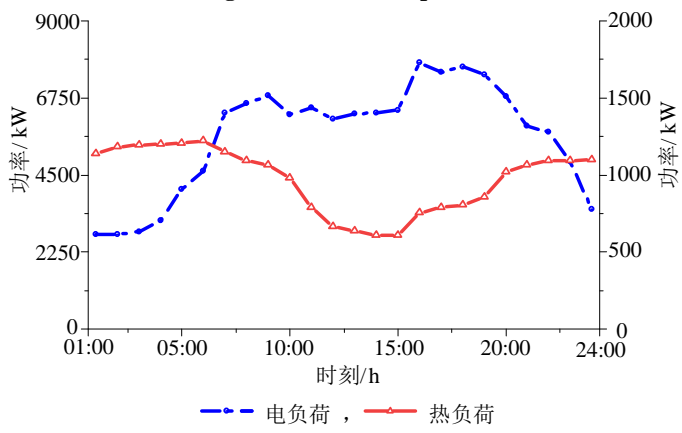


图 B3 电负荷与热负荷

Fig.B3 Electric load and heat load

表 B1 CHP 机组设备参数

Table B1 Parameters of CHP unit

参数	参数值
供电功率/MW	0.3~1.3
供热功率/MW	0.4~1.4
$S^{\scriptscriptstyle{\mathrm{a}}}_{\scriptscriptstyle{\mathrm{CHP}}}/[\overrightarrow{\mathcal{T}}_{\scriptscriptstyle{\mathrm{L}}}/(\mathrm{MW}\cdot\mathrm{h})]$	0.0044
$S^{\scriptscriptstyle \mathrm{b}}_{\scriptscriptstyle \mathrm{CHP}}$ / $[\overrightarrow{\!{ m TL}}$ / $(MW \cdot h)]$	13.29
$S_{ ext{ iny CHP}}^{ ext{ iny CHP}}/[\overrightarrow{ ext{ iny L}}/(ext{MW}\cdot ext{h})]$	39
爬坡率/(MW·h)	0.4

表 B2 电能替代设备参数

Table B2 Parameters of electrical energy substitution equipment

参数	参数值
$\rho_{\rm H2}/({\rm kg/Nm}^3)$	42.7
$\alpha_{SOEC}/(\vec{\pi}/kW)$	5160
$\alpha_{SOFC}/(\vec{\pi}/kW)$	29.4
$oldsymbol{eta}_{ ext{SOFC}}/(\overline{\pi}/kW)$	19.6
$\omega_{\rm EB}/(\vec{\pi}/{ m kW})$	26

表 B3 分时电价

Table B3 Time-of-use electricity price

时	段	电价/[元 • (kW·h) ⁻¹]
低谷时段	24:00-07:00	0.4
	08:00—10:00	
平价时段	16:00—18:00	0.8
	22:00—23:00	
宁 ·政H·矶	11:00—15:00	1.2
高峰时段	19:00—21:00	1.2

表 B4 补偿电价

Table B4 Compensation price

负荷调整方案	电价/[元・(kW·h) ⁻¹]
转移负荷	0.26
削间负荷	0.4
提前或延迟负荷	0.15
平移负荷	0.24

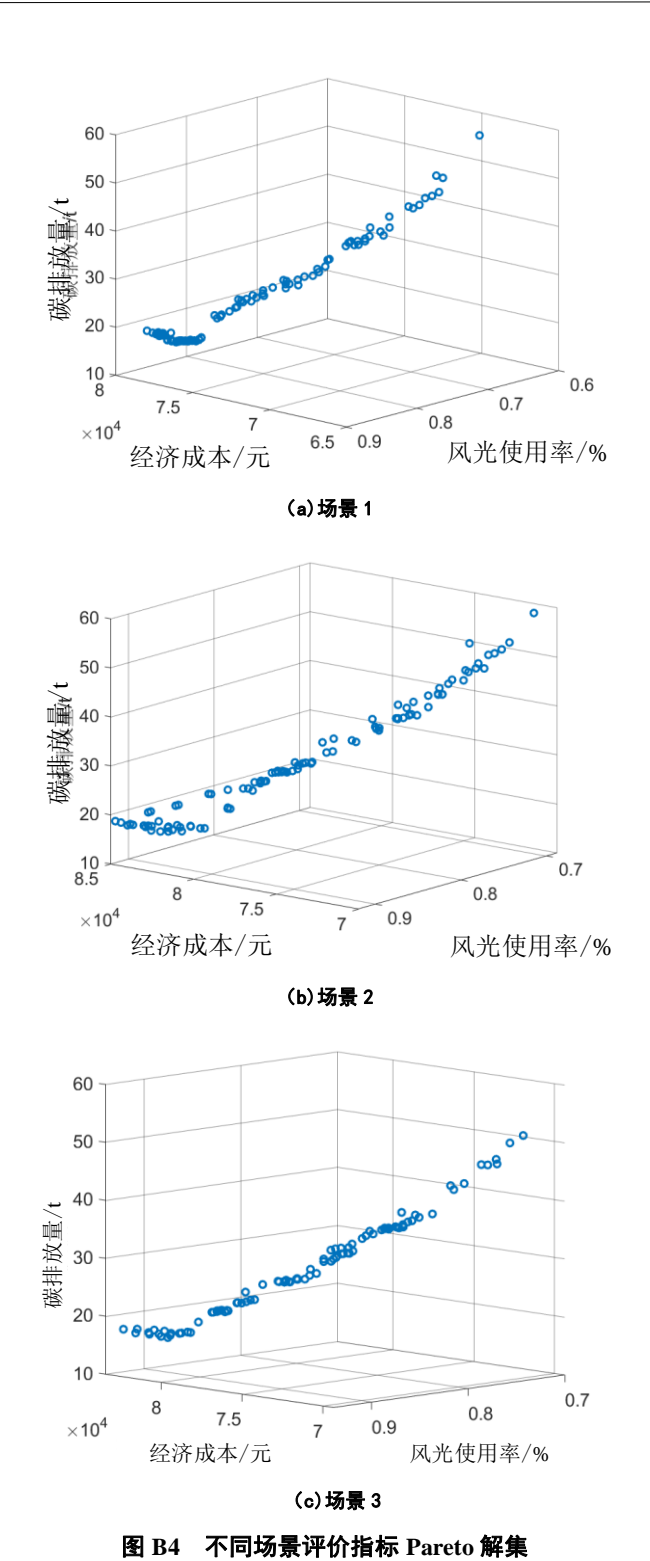


Fig.B4 Pareto solution set of evaluation index in different scenarios

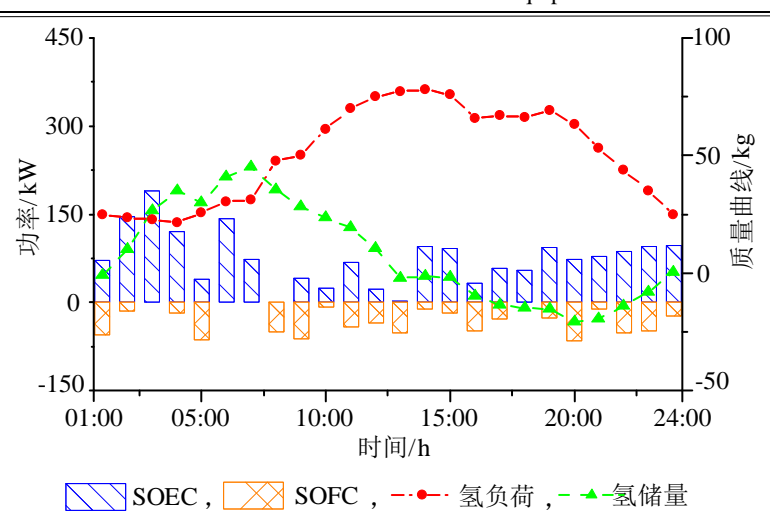


图 B5 场景 3 氢能时序变化结果

Fig.B5 Hydrogen energy timing change in Scenario 3

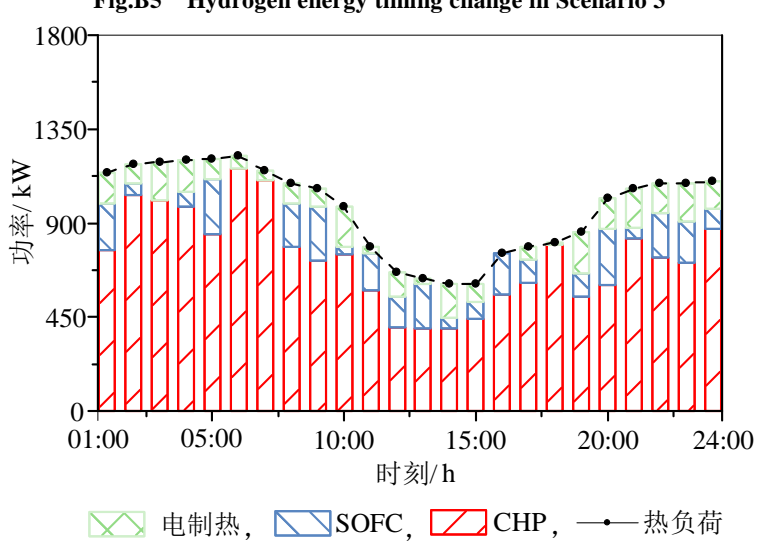


图 B6 场景 3 热能时序变化结果

Fig.B6 Thermal energy timing change in Scenario 3

表 B5 不同调控参数仿真结果

Table B5 Simulative results of different control parameters

灵活资源			氢	储匹配度				可控	负荷参与度	
评价指标	25%	50%	75%	100%	125%	150%	20%	40%	70%	100%
经济成本/万元	7.988	8.240	8.502	8.574	8.736	8.831	8.353	8.226	8.121	8.018
风光消纳率/%	89.84	90.45	91.01	91.02	91.12	89.14	91.47	91.72	92.03	92.23
碳排放量/吨	18.36	18.15	18.07	17.93	17.85	18.67	17.94	17.92	17.85	17.77

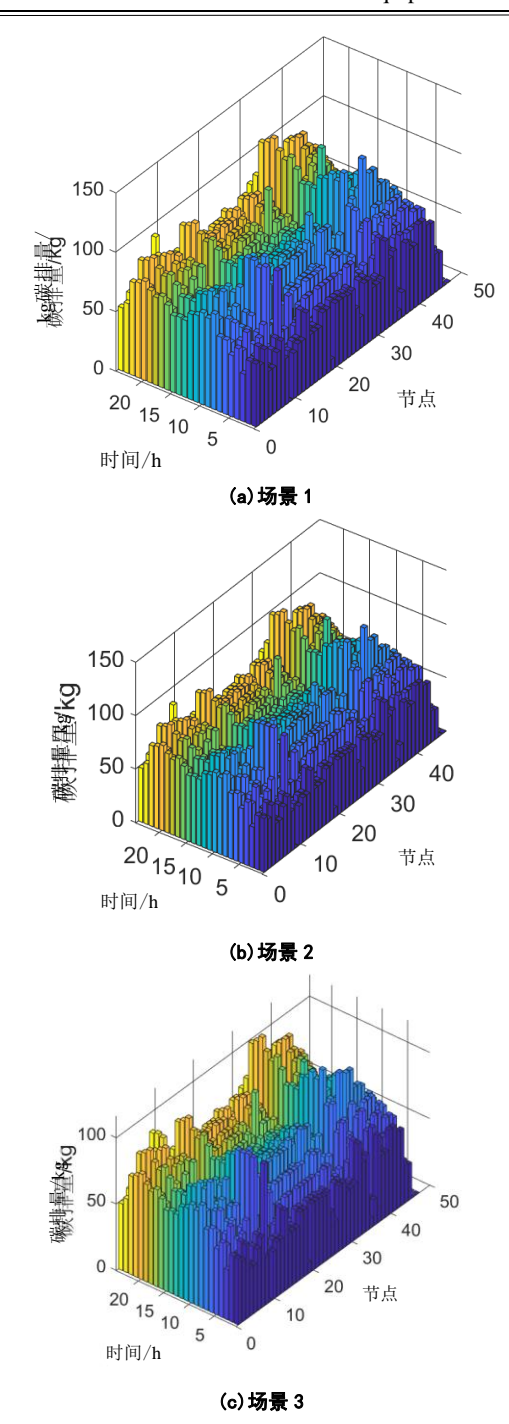


Fig.B7 Load carbon emissions in different scenarios

图 B7 不同场景下的负荷碳排放量结果

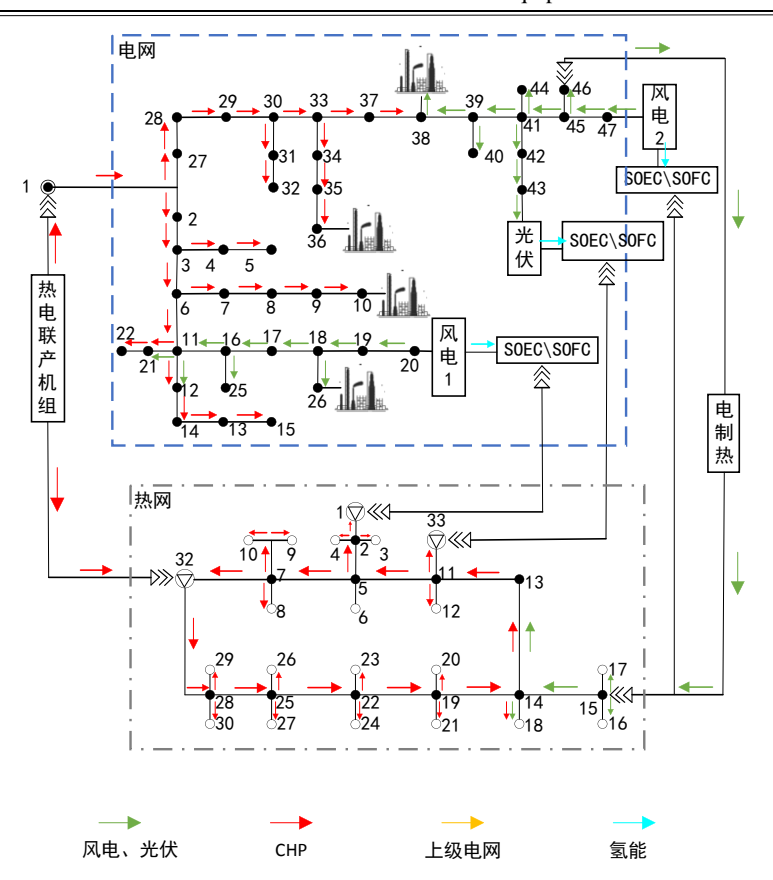


图 B8 时段 1 碳流拓扑结果

Fig.B8 Carbon flow topology in Period 1

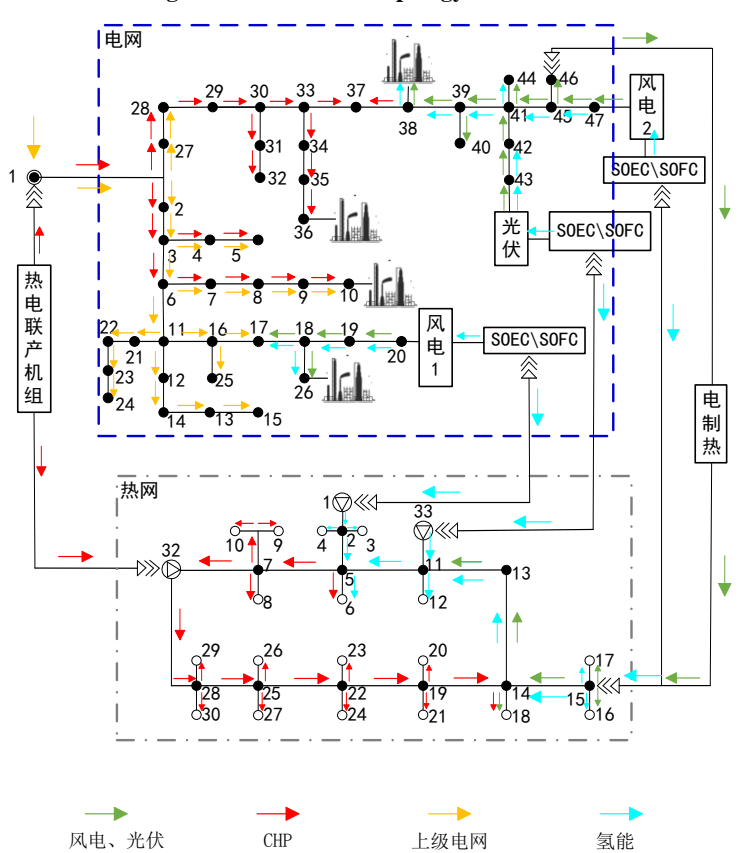


图 B9 时段 2 碳流拓扑结果

 $Fig. B9 \quad Carbon \ flow \ topology \ in \ Period \ 2$

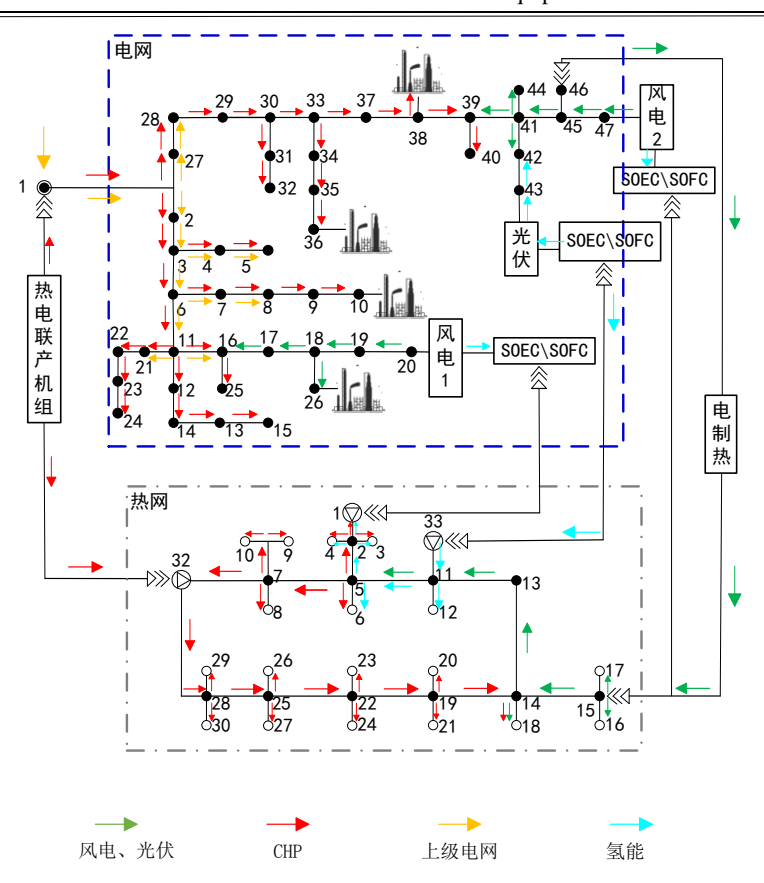


图 B10 时段 3 碳流拓扑结果

Fig.B10 Carbon flow topology in Period 3